



ผลกระทบของขนาดอนุภาคเซลลูโลสต่อฟิล์มชีวภาพจากเปลือกlong Kong

สายรุ้ง คำตรอง¹ และ ภาณุพงศ์ ใจบาล^{1,2*}

¹สาขาวิชาเทคโนโลยีพลังงานและการจัดการ คณะวิทยาศาสตร์ พลังงาน และสิ่งแวดล้อม มหาวิทยาลัยเทคโนโลยีพระจอมเกล้าฯ พระนครเหนือ วิทยาเขตระยอง, ระยอง

โครงการจัดตั้งศูนย์วิจัยเทคโนโลยีความต้ม คณะวิทยาศาสตร์ มหาวิทยาลัยเชียงใหม่, เชียงใหม่

*panupongj@kmutnb.ac.th

บทคัดย่อ

ในงานวิจัยนี้ได้ทำการศึกษาถึงผลกระทบของขนาดอนุภาคเซลลูโลสจากเปลือกlong Kong โดยขนาดอนุภาคที่ถูกแบ่งออกเป็น 355, 125 และ 75 ไมโครเมตร เทคนิคการเลี้ยวเบนของรังสีเอกซ์ (XRD) จะถูกใช้ในการยืนยันผลของเซลลูโลส โดยในบางตัวอย่างจะพบเฟสทุติยภูมิซึ่งเฟสทุติยภูมิที่ปรากฏขึ้นจะไม่ส่งผลต่อกระบวนการเตรียมฟิล์มชีวภาพ การวิเคราะห์ด้วยเทคนิคอินฟราเรดスペกโตรสโคป (FT-IR) ชี้ให้เห็นถึงการมีอยู่ของหมู่คาร์บอโนฮีดราตในผงคาร์บอโนฮีเมทิลเซลลูโลส (CMC) ที่ถูกสังเคราะห์จากอนุภาคเซลลูโลสขนาด 75 ไมโครเมตร ลักษณะสัมฐานวิทยาของผง (SEM) และองค์ประกอบทางเคมีของตัวอย่าง (EDS) พบว่าที่ขนาดอนุภาคเซลลูโลส 75 ไมโครเมตร ทำให้เกิดพื้นผิวเรียบและเป็นเนื้อเดียวกันของฟิล์มชีวภาพ ซึ่งการลดลงของขนาดอนุภาคทำให้เกิดความสามารถในการละลายน้ำของ CMC สูง ส่งผลให้ฟิล์มชีวภาพมีคุณภาพสูงขึ้นกัน และการดูดกลืนแสงของฟิล์มชีวภาพที่ขนาดอนุภาคทั้งหมดไม่มีความแตกต่างกัน อย่างมีนัยสำคัญ ในที่นี้ ผลการวิจัยชี้ให้เห็นว่าฟิล์มชีวภาพจากเปลือกlong Kong ที่มีคุณภาพสูงสามารถผลิตได้โดยใช้ออนุภาคเซลลูโลสขนาด 75 ไมโครเมตร ซึ่งในอนาคตอาจจะเป็นผลิตภัณฑ์ชีวภาพทางเลือกอีกชนิดหนึ่ง

คำสำคัญ: เปเปลือกlong Kong คาร์บอโนฮีเมทิลเซลลูโลส ฟิล์มชีวภาพ



The Effects of Cellulose Particle Sizes on Biofilm from Longkong Peel

Saryrung Khumtrong¹ and Panupong Jaiban^{1,2*}

¹Faculty of Science, Energy and Environment, King Mongkut's University of Technology North Bangkok, Rayong Campus, Rayong 21120, Thailand

²Research Center for Quantum Technology, Faculty of Science, Chiang Mai University, Chiang Mai, 50200, Thailand

*panupongj@kmutnb.ac.th

Abstract

The effects of longkong cellulose particle sizes on its biofilm were investigated. The particle sizes were divided into 355, 125 and 75 μm . The X-ray diffraction patterns confirmed the cellulose phase with the secondary phase in some sample. The second phase did not affect biofilm preparation. The FTIR analysis suggested a strong presence of carboxyl and hydroxyl groups in carboxymethylcellulose (CMC) powder, which synthesized from the cellulose particle size 75 μm . The SEM and EDS observations revealed that the cellulose particle size of 75 μm produced a smooth surface and homogeneity of biofilm. The decrease in particle size induced significantly the high water solubility of CMC and high reaction surface area, leading to high quality of biofilm. The light absorption of all biofilms was not different significantly. Herein, the result suggested that a high quality of biofilm from longkong peel could be produced using the cellulose particle size 75 μm , which may be alternative bioproduct in near future.

Keywords: longkong peel, carboxymethylcellulose, biofilm

1. บทนำ

ในแต่ละปี ขยายชีวภาพเพิ่มขึ้นอย่างรวดเร็วจากการบริโภคจำนวนมาก เช่น บ้าน ตลาด และชุมชน [1] ซึ่งการบำรุงรักษาชีวภาพที่ไม่เหมาะสมอาจส่งผลกระทบต่อสิ่งแวดล้อมและสุขภาพของมนุษย์ [2] โดยมีงานวิจัยหลายชิ้นที่มีความกังวลเกี่ยวกับปัญหานี้และพยายามที่จะพัฒนาวัสดุชีวภาพและผลิตฟิล์มชีวภาพจากชีวภาพ ล่าสุดได้มีการผลิตฟิล์มชีวภาพจากเปลือกผลไม้ซึ่งเป็นชีวภาพ อาทิ เช่น เปลือกทุเรียน [3] เปลือกกล้วย [4] และเปลือกมังคุด [5] ตัวอย่างเหล่านี้สามารถนำไปใช้ประโยชน์ในอุตสาหกรรมต่างๆ ได้ ไม่ว่าจะเป็น อุตสาหกรรมอาหารและอุตสาหกรรมบรรจุภัณฑ์ อีกทั้งยังเป็นวัสดุชีวภาพที่มีความเป็นมิตรต่อสิ่งแวดล้อม เหตุผลนี้จึงกลายเป็นแรงจูงใจของเรื่องในการพัฒนาฟิล์มชีวภาพจากเปลือกผลไม้โดยส่วนประกอบหลักของเปลือกผลไม้คือเซลลูโลส ซึ่งเซลลูโลสเป็นโพลิเมอร์ชีวภาพที่สามารถหมุนเวียนได้ในทรัพยากรธรรมชาติและมีโพลิเมอร์คาร์บอไฮเดรต (โพลีแซคcharide) มากกว่า 90% (w/w) ซึ่งสามารถนำมาผลิตเป็นพลาสติกชีวภาพที่เป็นมิตรต่อสิ่งแวดล้อมได้



ในบรรดาเปลือกผลไม้ ลองกอง (*L. domesticum*) เป็นหนึ่งในผลไม้ที่น่าสนใจ เพราะเป็นผลไม้ท้องถิ่นที่นำไปในประเทศไทยและเอเชียตะวันออกเฉียงใต้ เช่น อินโด네เซีย พิลิปปินส์ และไทย โดยลองกองเป็นผลไม้ที่เน่าเสียง่าย จึงต้องมีการแปรรูปเพื่อยืดอายุการเก็บรักษาให้อยู่ในรูปแบบผลิตภัณฑ์ต่างๆ เช่น เยลลี่และน้ำผลไม้ ซึ่งการเก็บรักษาทำให้มีขยะ ชีวภาพจำนวนมากจากเปลือกลองกอง ดังนั้นเราจึงสนใจที่จะนำเปลือกลองกองมาใช้ในการผลิตพิล์มน้ำผลไม้เพื่อลดปริมาณขยะ และเพิ่มโอกาสทางเศรษฐกิจของเปลือกลองกอง โดยในอุตสาหกรรมพลาสติกชีวภาพมีหลายวิธีในการเตรียมพิล์มน้ำผลไม้ จากเซลลูโลส (Cellulose) หนึ่งในนั้นคือการนำไปสังเคราะห์ carbokไซเมทิลเซลลูโลส (Carboxymethyl cellulose, CMC) ซึ่งเป็นอนุพันธ์ของเซลลูโลสชนิดหนึ่งที่เกิดจากการปรับปรุงคุณสมบัติของเซลลูโลสที่เป็นองค์ประกอบของผนังเซลล์ทำให้มีหมุ่มทิลและหมุ่มทิลของเยลลี่เข้ามาแทนที่ในโครงสร้างเดิม โดย CMC มีคุณสมบัติที่ไม่มีความเป็นพิษและมีความสามารถในการละลายน้ำสูง [6] ดังนั้นจึงมีการใช้กันอย่างแพร่หลายในการนำไปผลิตเป็นพิล์มน้ำผลไม้ อย่างไรก็ตาม ความสามารถในการละลายน้ำของ CMC ส่งผลกระทบอย่างมีนัยสำคัญต่อคุณสมบัติทางกายภาพของพิล์มน้ำผลไม้ที่ทราบกันดีว่าอนุภาคขนาดเล็กย่อมมีพื้นที่ผิวสูง ดังนั้นการปรับปรุงความสามารถในการละลายของ CMC จึงนำไปสู่การผลิตพิล์มน้ำผลไม้ที่มีคุณภาพสูง ด้วยสมมุติฐานนี้ ในงานวิจัยนี้เราจึงเน้นที่จะศึกษาถึงผลกระทบของขนาดอนุภาคเซลลูโลสที่มีต่อ CMC และพิล์มน้ำผลไม้ เริ่มแรก ทำการสกัดเซลลูโลสจากเปลือกลองกองจากนั้นจึงทำการกรองอนุภาคเซลลูโลสในหลายขนาด โดยเซลลูโลสที่มีขนาดต่างกันจะถูกนำมาใช้เป็นวัสดุเริ่มต้นสำหรับการสังเคราะห์ CMC และการเตรียมพิล์มน้ำผลไม้ในภายหลัง เทคนิคการเลี้ยวเบนของรังสีเอ็กซ์ (X-ray Diffraction, XRD) ถูกใช้เพื่อยืนยันเฟสของตัวอย่างทั้งหมด สัณฐานวิทยาและองค์ประกอบทางเคมีของตัวอย่างสังเกตได้จากการกล้องจุลทรรศน์อิเล็กตรอนแบบส่องกราด (Scanning Electron Microscope, SEM) และスペกต์โรสโคปี (Fourier Transform Infrared Spectroscopy, FT-IR) ถูกใช้เพื่อระบุพันธะเคมีของตัวอย่างทั้งหมด ตรวจสอบการดูดกลืนแสงของพิล์มน้ำผลไม้ทั้งหมดโดยใช้เครื่องสเปกต์โรสโคปี (UV-Vis Spectrophotometer, UV-Vis) และสุดท้ายจะเป็นการกล่าวถึงผลกระทบของขนาดอนุภาคเซลลูโลสต่อการผลิตพิล์มน้ำผลไม้จากเปลือกลองกอง

2. สมมติฐานของงานวิจัย

- ขนาดอนุภาคของเซลลูโลสมีผลต่อการสังเคราะห์ CMC และพิล์มน้ำผลไม้
- ขนาดอนุภาคของเซลลูโลสที่เล็กย่อมแสดงลักษณะพื้นผิวและคุณสมบัติทางกายภาพที่ดีกว่า

3. ตัวแปรที่ใช้ในการวิจัย

- ตัวแปรต้น ได้แก่ ขนาดอนุภาคของเซลลูโลส
- ตัวแปรตาม ได้แก่ ลักษณะพื้นผิวและสมบัติทางกายภาพของพิล์มน้ำผลไม้
- ตัวแปรควบคุม ได้แก่ อุณหภูมิ เวลา แม่พิมพ์ที่ใช้ในการขึ้นพิล์ม ความเข้มข้นของสาร ปริมาณและสัดส่วนของสารที่ใช้

4. วัสดุและวิธีการดำเนินงาน

4.1 วัสดุ

เปลือกลองกองได้มาจากตลาดท้องถิ่นในประเทศไทย สารเคมีทั้งหมดที่ใช้ในการสกัดเซลลูโลสและการสังเคราะห์ CMC ได้แก่ โซเดียมไฮดรอกไซด์ (NaOH) และกรดคลอโรอะซิติก ($\text{C}_2\text{H}_3\text{ClO}_2$) จาก Sigma-Aldrich ไอโซโปรพานอล ($\text{C}_3\text{H}_8\text{O}$), เอทานอล ($\text{C}_2\text{H}_5\text{OH}$), เมทานอล (CH_3OH) และกรดอะซิติก (CH_3COOH) จาก Merck KGaA



4.2 การสกัดเซลลูโลส

ในขั้นตอนแรก นำเปลือกของกองที่ทำความสะอาดแล้วไปอบแห้งแล้วนำมาป่นให้ละเอียด จากนั้นนำไปต้มใน NaOH (1 มolar) พร้อมป่นกวนเป็นเวลา 1 ชั่วโมง กรองเส้นใยแล้วนำไปล้างด้วยน้ำกลั่น หลังจากนั้นทำการฟอกเส้นใยด้วยไฮโดรเจนperอกรไซด์ (30%) เป็นเวลา 24 ชั่วโมง ทำการกรองและล้างอีกรังสแล้วนำไปอบที่อุณหภูมิ 55 องศาเซลเซียส เป็นเวลา 24 ชั่วโมง หลังจากได้รับเซลลูโลสแล้วทำการป่นให้ละเอียดอีกรอบแล้วนำไปคัดแยกอนุภาคโดยใช้เครื่องปั่นตะแกรง (Retsch, AS 200) เป็นเวลา 1 ชั่วโมง โดยการศึกษานี้แบ่งขนาดอนุภาคเซลลูโลสออกเป็นสามขนาด ได้แก่ 355 ไมโครเมตร 125 ไมโครเมตรและ 75 ไมโครเมตร

4.3 การสังเคราะห์ CMC

เซลลูโลสที่มีขนาดอนุภาคต่างกันถูกผสมในสารละลาย NaOH 40% และไอโซโพรพานอลที่อุณหภูมิ 40 องศาเซลเซียส เป็นเวลา 30 นาที จากนั้นทำการเติมกรดคลอโรอะซิติกลงในสารละลายพร้อมป่นกวนอีกรังสเป็นเวลา 30 นาที หลังจากนั้น นำส่วนผสมเข้าเตาอบที่อุณหภูมิ 55 องศาเซลเซียส เป็นเวลา 2.5 ชั่วโมง หลังจากนั้นนำส่วนผสมออกจากเตาแล้ว สารจะแยกออกเป็นสองชั้น คือ ของเหลวและของแข็ง ทำการเทส่วนเป็นของเหลวทึ้งแล้วเติมสารละลายเมทานอล (70%) พร้อมปรับ pH ให้เป็นกลางด้วยกรดอะซิติก เพสของแข็งที่แขวนลอยในสารละลายเมทานอลจะถูกกรองและล้างด้วยสารละลายเอทานอล (70%) ทั้งหมด สามครั้ง ในขั้นตอนสุดท้ายทำการล้างด้วยสารละลายเอทานอลบริสุทธิ์ (99%) หลังจากนั้นกรองเก็บส่วนที่เป็นของแข็งแล้วนำไปอบที่อุณหภูมิ 55 องศาเซลเซียส เป็นเวลา 24 ชั่วโมง

4.4 การเตรียมพิล์มคาร์บอฟิเมทิลเซลลูโลส (CMC) จากเปลือกของ

ขั้นแรก ผง CMC ถูกละลายในน้ำกลั่น 20 มิลลิลิตร ที่อุณหภูมิ 80 องศาเซลเซียส เป็นเวลา 10 นาที จากนั้นทำการเทสารละลายลงในแม่พิมพ์ทรงสี่เหลี่ยม (5×5 ซม.) แล้วนำไปอบที่อุณหภูมิ 55 องศาเซลเซียส เป็นเวลา 1 ชั่วโมง

4.5 ลักษณะเฉพาะ

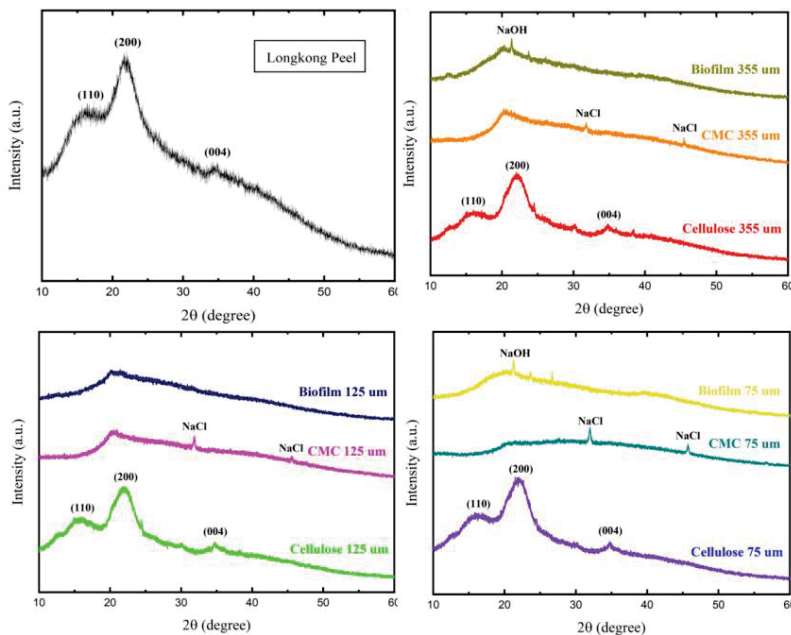
เปลือกของ กอง เซลลูโลส CMC และพิล์มชีวภาพได้รับการยืนยันองค์ประกอบทางเคมีโดยเทคนิคอินฟราเรด สเปกโตรสโคปี (FT-NIR PerkinElmer) ในช่วงเลขค霖์ตั้งแต่ 400 ถึง 4000 ซม.⁻¹ เทคนิคการเลี้ยวเบนรังสีเอกซ์ (Rigaku, Smart Lab) ถูกใช้เพื่อศึกษาลักษณะเฟสของตัวอย่างในช่วงมุมเลี้ยวเบนระหว่าง 10° ถึง 60° ศึกษาโครงสร้างจุลภาคและองค์ประกอบทางเคมีของตัวอย่างโดยกล้องจุลทรรศน์อิเล็กตรอนแบบส่อง粒 (SEM) และสเปกโตรสโคปีแบบกระจายพลังงาน (EDS) การคุณภาพแสงของพิล์มทั้งหมดได้รับการตรวจสอบโดยใช้เครื่องสเปกโตรโฟโตเมตรี Uv-Visible (UV2600, SHIMADZU) ในช่วงความยาวคลื่นตั้งแต่ 200 ถึง 600 นาโนเมตร

5. ผลลัพธ์และการอภิปรายผล

5.1 การวิเคราะห์ด้วยเทคนิคการเสี้ยวนะของรังสีเอกซ์ (XRD)

โครงสร้างผลึกของเปลือกของแสดงไว้ในภาพที่ 1 โดยผลลัพธ์แสดงจุดสูงสุดที่ 22° ซึ่งสอดคล้องกับรายงานการเลี้ยวเบน (200) พีคนี้ถูกรายงานว่าเป็นผลึกเซลลูโลส ซึ่งสอดคล้องกับมาตรฐาน JCPDS No.03-0226 [7] นอกจากนี้ พีค (110) และ (004) บ่งชี้ถึงการมีอยู่ของเฟสอสัณฐานของเซลลูโลส ผลลัพธ์นี้สามารถยืนยันได้ว่าเปลือกของส่วนใหญ่ ประกอบด้วยเซลลูโลสที่มีโครงสร้างต่างกัน รูปแบบการเสี้ยวนะของรังสีเอกซ์ของเซลลูโลสที่มีขนาดต่างกันพบว่าเซลลูโลสทั้งหมด

มีรูปแบบ XRD ที่คล้ายคลึงกันที่พีค 16° , 22° และ 35° สำหรับตัวอย่างเซลลูโลสสอดคล้องกับรูปแบบ (110), (200) และ (004) ตามลำดับ พีคเหล่านี้บ่งชี้ว่ามีเฟสเซลลูโลส [8] โดยพีค (110) สัมพันธ์กับเฟสเซลลูโลสส่วนฐาน ในขณะเดียวกันยอดที่ (200) สัมพันธ์กับเซลลูโลสที่เป็นผลึก ที่น่าสนใจคือความเข้มของยอด (004) ของเซลลูโลสจะเพิ่มขึ้นเมื่อเทียบกับเปลือกlong กอง ผลลัพธ์นี้เกิดจากการกำจัดลิกนินหรือเอมิเซลลูโลสออกในระหว่างการฟอกสี [9] ในกรณีของผง CMC ที่สังเคราะห์จากเซลลูโลสที่มีขนาดต่างกันจะสังเกตเห็นเฟส NaCl ได้ โดยพีคนี้อาจมาจากการ NaOH และกรดคลอโรซิติก [10] นอกจากนี้ที่พีค (200) ในผง CMC ทั้งหมดมีลักษณะของพีคที่ลดลงโดยการลดลงนี้เป็นผลมาจากการลดลงของโครงสร้างผลึกเซลลูโลสเนื่องจากพันธะไฮโดรเจนในไมเลกุลเซลลูโลสที่แตกสลายโดย NaOH ระหว่างปฏิกิริยาการบอกซีเมทิลเลชัน [11] และรูปแบบ XRD ของพิล์มชีวภาพพบพีคที่ไม่แตกต่างจากผง CMC ผลการวิจัยพบว่าเฟสหลักของพิล์มชีวภาพยังคงเป็นเซลลูโลสที่มีโครงสร้างผลึกต่ำ เช่น ผง CMC อย่างไรก็ตาม การมีอยู่ของเฟส NaOH (JCPDS No.01-075-0642) ที่ 22° , 24° และ 27° ในพิล์มชีวภาพทำให้ออน Na^+ ในกลุ่มการบอกซีลิกของผง CMC อาจทำปฏิกิริยากับ OH^- ของน้ำ ทำให้เกิดเฟสดังกล่าวขึ้น



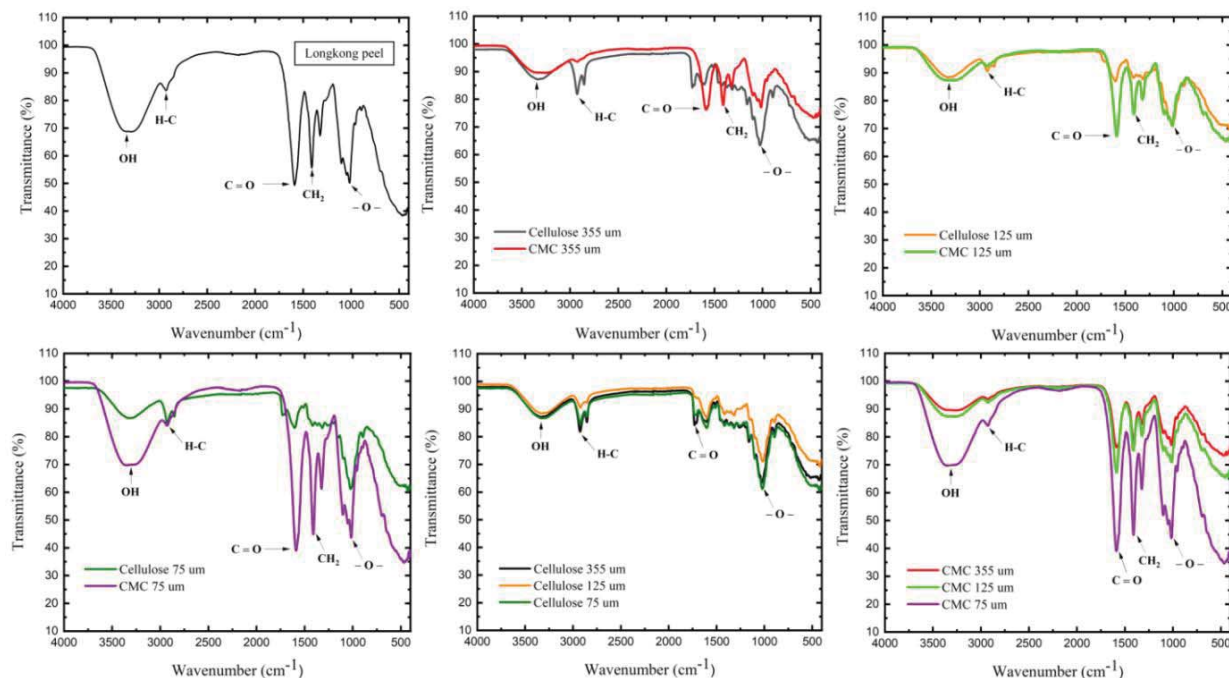
ภาพที่ 1 รูปแบบ XRD ของเปลือกlong กอง เซลลูโลส CMC และพิล์มชีวภาพที่ขนาดอนุภาคต่าง ๆ

5.2 การวิเคราะห์ด้วยเทคนิคอินฟราเรดสเปกตรอสโคปี (FT-IR)

ภาพที่ 2 แสดงสเปกตรัม FTIR ของเปลือกlong กอง เซลลูโลส และผง CMC โดยจากการทดลองของเปลือกlong กอง พบว่ามีพันธะเคมีหลายพันธะในตัวอย่างนี้ พีคแรกที่ 3290 cm^{-1} ซึ่งสัมพันธ์กับการสั่นแบบบีดของกลุ่มไฮดรอกซิล ($-\text{OH}$ Stretching) ในขณะเดียวกัน จุดสูงสุดที่สองที่พีค 2927 cm^{-1} เป็นการสั่นแบบบีดของกลุ่มไฮดรօคาร์บอน (C-H Stretching) และส่วนอื่นๆ ปรากฏที่พีค 1589 cm^{-1} , 1408 cm^{-1} และ 1102 cm^{-1} ซึ่งเป็นการสั่นสะเทือนแบบบีดของกลุ่มการบอกซีลิก (C=O Stretching), การสั่นแบบบีดของหมู่เมทธิล ($-\text{CH}_2$ Scissoring) และการสั่นแบบบีดของกลุ่มอีเรอร์ (-O Stretching) ตามลำดับ โดยพีคที่สังเกตได้ทั้งหมดสะท้อนถึงพันธะเคมีในโครงสร้างเซลลูโลส [12] ถัดมาเป็นรูปการเปรียบเทียบสเปกตรัม FTIR ระหว่างเซลลูโลสและผง CMC สำหรับขนาดอนุภาคแต่ละขนาดโดยพีค FTIR ของเซลลูโลสและผง CMC ของอนุภาคทุกขนาด



ไม่มีความแตกต่างกันอย่างมีนัยสำคัญ อย่างไรก็ตาม ความเข้มของการดูดกลืนของเซลลูโลสเมลักซ์จะเพิ่มขึ้นเมื่อทำการสังเคราะห์เป็นผง CMC สำหรับอนุภาค 355 ไมโครเมตร และ 125 ไมโครเมตร โดยพิคเมลักซ์จะการดูดกลืนที่เพิ่มขึ้นเล็กน้อยเมื่อเทียบกับเซลลูโลส ในขณะที่ผง CMC สำหรับอนุภาค 75 ไมโครเมตรมีการดูดกลืนที่ดีขึ้นมากซึ่งการเพิ่มขึ้นนี้เกิดจากการมีอยู่ของกลุ่มคาร์บอชิลที่พีค 1589 cm^{-1} และหนูไฮดรอกซิลที่พีค 3290 cm^{-1} [13] โดยผลที่ได้บ่งชี้ถึงการมีอยู่ของขนาดอนุภาคเซลลูโลสต่อโครงสร้างพันธะ CMC นอกจากนี้เรายังเปรียบเทียบสเปกตรัม FTIR ของเซลลูโลสและผง CMC ที่มีขนาดต่างกันดังที่แสดงในภาพ พบว่าผลที่ได้ไม่มีความแตกต่างอย่างมีนัยสำคัญในเซลลูโลสระหว่างอนุภาคทุกขนาด อย่างไรก็ตาม ความแตกต่างที่เห็นได้ชัดในผง CMC สำหรับอนุภาค 355 ไมโครเมตรจะมีค่าการดูดกลืนที่ต่ำที่สุด ในขณะเดียวกันค่าการดูดกลืนในขนาดอนุภาค 75 ไมโครเมตร ให้ผลลัพธ์ที่บ่งชี้ถึงการมีอยู่อย่างแข็งแกร่งของหมู่คาร์บอชิลและไฮดรอกซิลในผง CMC ที่สังเคราะห์จากเซลลูโลส 75 ไมโครเมตร ผลลัพธ์เหล่านี้สามารถสรุปได้ว่าอนุภาคเซลลูโลสขนาด 75 ไมโครเมตร ช่วยเพิ่มกลุ่มการทำงานของเซลลูโลสอย่างมีนัยสำคัญ ซึ่งอาจนำไปสู่ความสามารถในการละลายน้ำที่ดีขึ้นของผง CMC โดยผลลัพธ์นี้จะอธิบายในส่วนต่อไป



ภาพที่ 2 รูปแบบ FT-IR ของเปลือกlongkong เซลลูโลสและ CMC ที่ขนาดอนุภาคต่าง ๆ



ตารางที่ 1

ค่าการดูดกลืนรังสีอินฟารดของหมุ่ฟังก์ชันต่างๆ ของเปลือกของ กอง เชลลูโลส และผง CMC

เลขคลื่น (cm^{-1}) (Wavenumbers)	พันธะเคมี (Chemical bonding)
3290	OH Stretching
2927	C-H Stretching
1589	C=O Stretching
1408	CH ₂ Scissoring
1102	-O- Stretching

5.3 การวิเคราะห์ด้วยกล้องจุลทรรศน์อิเล็กตรอนแบบส่องกราด (SEM) และสเปกโตรสโคปแบบกระจายพลังงาน (EDS)

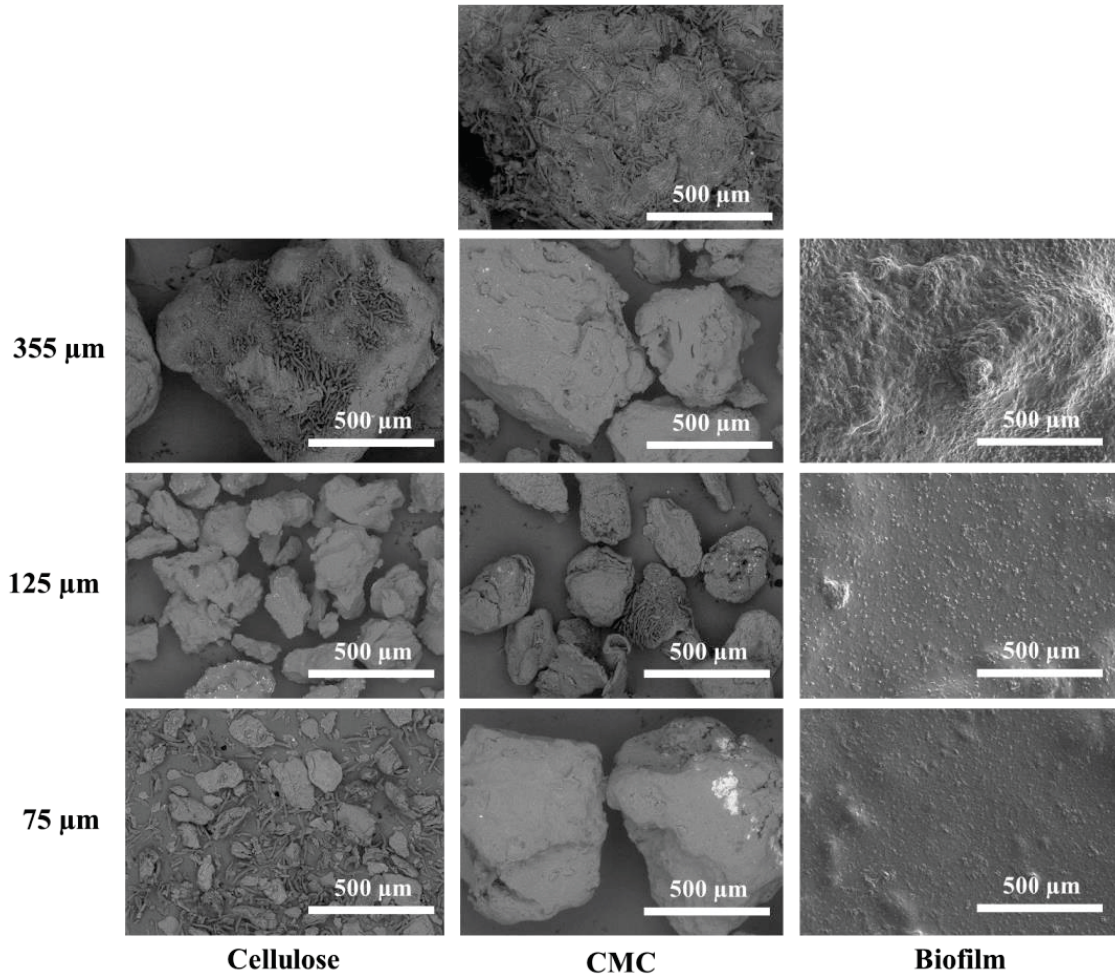
ภาพที่ 3 แสดงภาพ SEM ของตัวอย่างทั้งหมด ในกรณีของเปลือกของ กอง จะเห็นว่าตัวอย่างมีเส้นใยและอนุภาค เชลลูโลสขนาดใหญ่ (>500 ไมโครเมตร) โดยจากภาพ SEM สามารถยืนยันถึงความแตกต่างของขนาดอนุภาค เชลลูโลสได้ เมื่อนำ เชลลูโลสที่ขนาดอนุภาคต่างๆ มาทำการสังเคราะห์เป็นผง CMC พบรากขนาดอนุภาคของผง CMC เพิ่มขึ้นเมื่อเทียบ กับ เชลลูโลสโดยเฉพาะที่อนุภาค 75 ไมโครเมตร พบรากขนาดอนุภาคของ CMC อยู่ที่ประมาณ 500 ไมโครเมตร หรือใหญ่กว่า ผลลัพธ์นี้ อาจเกิดจากการจับตัวกันเป็นกลุ่มก้อน เนื่องจากขนาดอนุภาคที่ 75 ไมโครเมตร มีลักษณะค่อนข้างเล็กเมื่อเทียบ กับอนุภาคอื่นๆ จึงทำให้มีพื้นที่ผิวสูงขึ้น ส่งผลให้เกิดปฏิกิริยาเคมีและการรวมตัวที่ดีขึ้น ดังนั้นผง CMC ที่ขนาดอนุภาค 75 ไมโครเมตร จึงเพิ่มขึ้นอย่างมีนัยสำคัญ สำหรับภาพ SEM ของฟิล์มชีวภาพ พบรากขนาดพื้นผิวของฟิล์ม มีความแตกต่างกัน ซึ่งจะขึ้นอยู่กับขนาดของอนุภาค เชลลูโลสโดยฟิล์มที่ขนาดอนุภาค เชลลูโลส 355 ไมโครเมตร แสดงลักษณะพื้นผิวที่ขุ่นรุ่น ในขณะเดียวกันพื้นผิวของฟิล์มจะมีลักษณะที่ดีขึ้นตามขนาดอนุภาคของ เชลลูโลสที่ลดลง โดยทั่วไปความสามารถในการละลายน้ำ ของผง CMC จะส่งผลต่อคุณสมบัติทางภาพของฟิล์ม ดังนั้นความสามารถในการละลายน้ำที่สูงของ CMC ส่งผลให้พื้นผิวของฟิล์ม มีลักษณะที่เรียบและเป็นเนื้อเดียวกัน นอกจากนี้ การมีอยู่ของหมุ่คาร์บออกซิลและไอดรอกซิลใน CMC จากอนุภาค เชลลูโลส 75 ไมโครเมตร ช่วยเพิ่มความสามารถในการละลายน้ำได้ดี ด้วยเหตุนี้ ผง CMC ที่ถูกสังเคราะห์จาก เชลลูโลสขนาดอนุภาค 75 ไมโครเมตร จึงสามารถสร้างพื้นผิวที่เรียบและเป็นเนื้อเดียวกับฟิล์มชีวภาพได้ดีกว่า เมื่อเทียบกับ เชลลูโลสที่อนุภาคอื่นๆ

ตัวอย่างที่เตรียมจากอนุภาค เชลลูโลส 75 ไมโครเมตร ได้รับการคัดเลือกในการศึกษาองค์ประกอบทางเคมี โดยการวิเคราะห์ EDS ผลลัพธ์ EDS แสดงในภาพที่ 4 จากผลการศึกษาพบว่าเปลือกของ กอง ประกอบด้วยคาร์บอน (C) และออกซิเจน (O) ซึ่งองค์ประกอบทั้งสองส่วนใหญ่จะปรากฏอยู่ใน เชลลูโลสโดยการสังเกตดูน้ำมาร์อมกับผลลัพธ์ของ XRD และ FTIR แต่เมื่อทำการสกัด เชลลูโลสจากเปลือกของ กอง แล้วพบว่า มีองค์ประกอบจากธาตุโซเดียม (Na) ปรากฏอยู่โดยผลลัพธ์ ที่ได้ไม่สอดคล้องกับผล XRD และ FTIR ของ เชลลูโลสเนื่องจากปริมาณ Na ที่พบอาจมีค่าที่ต่ำมาก (~1.9 wt%) โดยคาดว่า Na ใน เชลลูโลสอาจจะเกิดจากการปนเปื้อนของ NaOH ที่ใช้ในการสกัด เชลลูโลส และเมื่อ เชลลูโลสถูกสังเคราะห์เป็นผง CMC ยังคงพบองค์ประกอบ C และ O ในตัวอย่าง โดยสิ่งที่นาสนใจคือ องค์ประกอบ Na มีค่าเพิ่มขึ้นจาก ~1.9% โดยน้ำหนัก เป็น ~14.3% โดยน้ำหนักในผง CMC เมื่อเปรียบเทียบกับ เชลลูโลส จากการศึกษานี้ ธาตุที่ตรวจพบของ Na อาจแบ่งออก เป็นสองรูปแบบทางเคมี ในขั้นแรกอาจเป็นเฟสที่เกิดจาก NaCl ซึ่งสามารถสังเกตได้จากรูปแบบ XRD ในภาพที่ 1

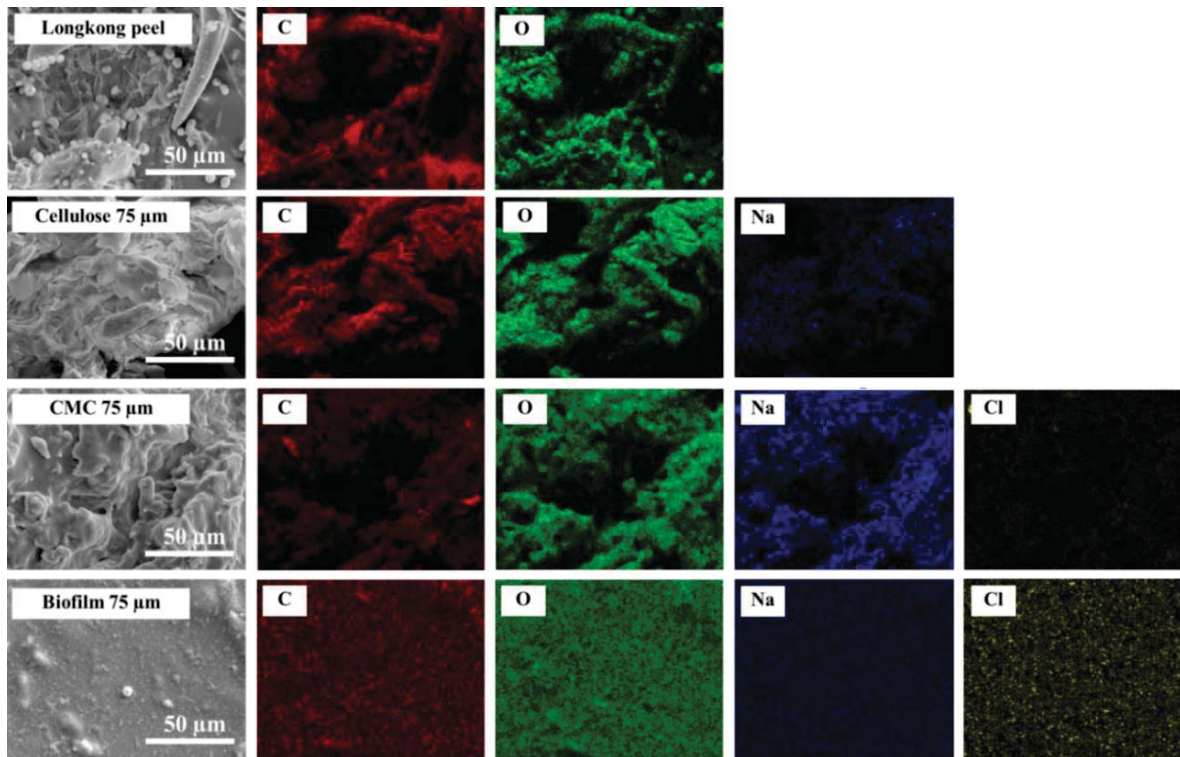


โดยองค์ประกอบของคลอริน (Cl) ถูกตรวจพบในภาพ EDS และในขั้นที่สองมาจากการฟังก์ชันของอนุพันธ์เซลลูโลส ซึ่งช่วยในการเพิ่มความสามารถในการละลายน้ำของผง CMC ในกรณีของพิล์มชีวภาพตัวอย่างเมื่อมีองค์ประกอบ C, O, Na และ Cl ซึ่งเมื่อมีอนกับผง CMC จากผลลัพธ์เหล่านี้ สามารถถอดล้ำได้ร้าไฟฟ์ NaOH ไม่ส่งผลต่อการเตรียมพิล์มชีวภาพและคุณภาพของพิล์มชีวภาพดังนั้นเราจึงสามารถเตรียมพิล์มชีวภาพที่มีพื้นผิวที่เรียบและเป็นเนื้อเดียวกันได้โดยใช้ขนาดอนุภาคเซลลูโลสที่ 75 ไมโครเมตร

Longkong peel



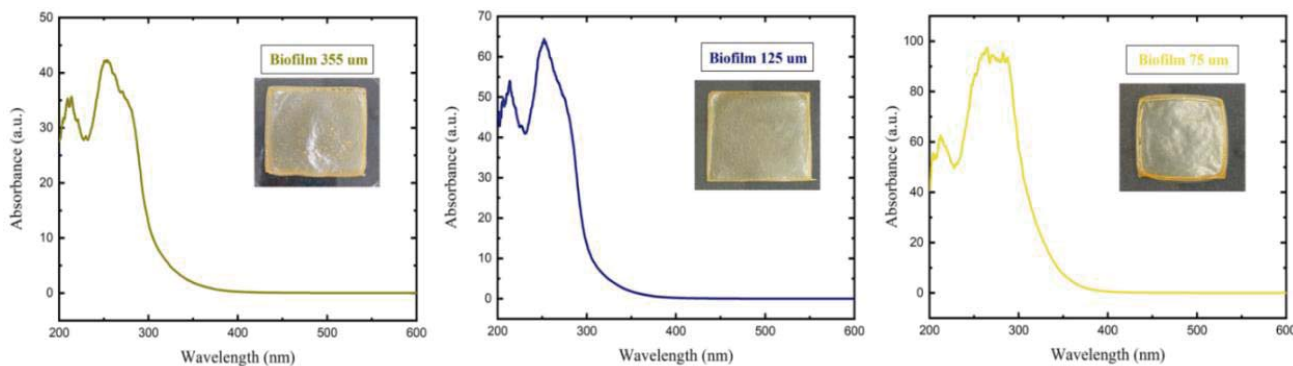
ภาพที่ 3 รูปแบบ SEM ของเปลือกlongkong เซลลูโลส CMC และพิล์มชีวภาพที่ขนาดอนุภาคต่าง ๆ



ภาพที่ 4 รูปแบบ EDS ของเปลือกlongkong เชลูโลส CMC และฟิล์มชีวภาพที่ขนาดอนุภาคต่าง ๆ

5.4 การวิเคราะห์การคุณภาพโดยใช้เครื่องสเปกตรอสโคปี (UV-Vis)

ภาพที่ 5 แสดงสเปกตรร์การคุณภาพของฟิล์มชีวภาพทั้งหมด ดังที่เห็นในภาพพิล์มชีวภาพคุณภาพแสงตั้งแต่ 200 ถึง 300 นาโนเมตร จากผลการทดลองพบว่าพิคเมทร์การคุณภาพแสงของพิคซึ่งเป็นการคุณภาพที่แสงอัลตราไวโอเลต โดยพิคแรกพบการคุณภาพสูงสุดประมาณ 210 นาโนเมตรและพิคที่สองพบการคุณภาพสูงสุดประมาณ 260 นาโนเมตร นอกจากนี้ การคุณภาพแสงสูงสุดของฟิล์มชีวภาพที่เตรียมจากอนุภาคเชลูโลส 355 และ 125 ไมโครเมตร นั้นค่อนข้างแคบ ในทางกลับกัน ฟิล์มชีวภาพที่เตรียมจากอนุภาคเชลูโลส 75 ไมโครเมตร มีการคุณภาพแสงสูงสุดในวงกว้างซึ่งคุณภาพของพื้นฟิล์มชีวภาพอาจจะทำให้เกิดความแตกต่างนี้ โดยภาพของพิล์มชีวภาพแสดงไว้ในรูปที่ 5 เห็นได้ชัดว่าฟิล์มชีวภาพที่อนุภาคเชลูโลส 355 และ 125 ไมโครเมตร มีความไม่สม่ำเสมอและมีอนุภาคขนาดใหญ่ของผง CMC ที่ไม่ละลายน้ำซึ่งอนุภาคเหล่านี้อาจกระทบทำให้เกิดการคุณภาพสูงสุดในขณะเดียวกัน ฟิล์มชีวภาพที่เตรียมจากอนุภาคเชลูโลส 75 ไมโครเมตร มีความสม่ำเสมอที่ดีขึ้นส่งผลให้การคุณภาพแสงดีขึ้น เช่นกัน



ภาพที่ 5 รูปแบบ UV-Vis ของฟิล์มชีวภาพที่ขนาดอนุภาคต่าง ๆ

6. สรุปผลการวิจัย

ในงานนี้ ประสบความสำเร็จในการผลิตฟิล์มชีวภาพจากเปลือกกลองกองด้วยเซลลูโลสขนาดต่างๆ ผลลัพธ์ของ XRD บ่งชี้ถึงเฟสเซลลูโลสในตัวอย่างทั้งหมดโดยการมีอยู่ของเฟสทุติกวมิเกิดจากวัสดุตั้งต้นที่ใช้ การวิเคราะห์ FTIR เมย์ให้เห็นถึงการมีอยู่ของหมู่ไฮดรอกซิลและคาร์บอคซิลในผง CMC ที่ถูกสังเคราะห์โดยเซลลูโลสขนาดอนุภาค 75 ไมโครเมตร โดยอนุภาคเซลลูโลสขนาด 75 ไมโครเมตร สามารถสร้างผง CMC ได้ดีกว่าเนื่องจากมีลักษณะพื้นผิวที่เรียบและมีความเป็นเนื้อเดียวกันของฟิล์มมากกว่าและสเปกตรัม UV-Vis ของฟิล์มชีวภาพทั้งหมดไม่มีความแตกต่างกันอย่างมีนัยสำคัญ ผลการวิจัยพบว่าฟิล์มชีวภาพจากเปลือกกลองกองสามารถผลิตได้จากอนุภาคเซลลูโลสขนาด 75 ไมโครเมตร

7. ข้อเสนอแนะ

1. ควรมีการศึกษาเพิ่มเติมเกี่ยวกับสมบัติทางกายภาพ ยกตัวอย่างเช่น การทดสอบสมบัติเชิงกล
2. หากต้องการนำไปประยุกต์ใช้ทางด้านอุตสาหกรรมบรรจุภัณฑ์ควรมีการเติมสารแต่งหรือสารจำพวกพลาสติกเซอร์ (Plasticizer) รวมด้วยเพื่อเพิ่มสมบัติทางด้านต่าง ๆ ยกตัวอย่างเช่น การยึดหยุ่น ความโปร่งใส

8. กิตติกรรมประกาศ

งานวิจัยนี้ได้รับทุนจากการกองทุนส่งเสริมวิทยาศาสตร์ วิจัยและนวัตกรรม (สกสว.) และมหาวิทยาลัยเทคโนโลยีพระจอมเกล้าพระนครเหนือ สัญญาเลขที่ มจพ.-FF-65-43 คุณภาณุพงศ์ ใจกลาง ขอขอบคุณทุนสนับสนุนบางส่วนจากหน่วยบริหารและจัดการทุนด้านการพัฒนากำลังคนและทุนด้านการพัฒนา สถาบันอุดมการศึกษาการวิจัยและการสร้างนวัตกรรม [หมายเลขอุทุน B05F630113]

เอกสารอ้างอิง (References)

- [1] David, A. Z., & Larry, M. Z. (2021). Composting: the microbiological processing of organic wastes. In Terry, J. G., Jeffry, J. F., & David, A. Z. (Ed.), *Principles and Applications of Soil Microbiology* (655-679). USA: Elsevier.
- [2] Dan, B. P., & Deen, D. G. (2021). Remediation of industrial organic waste pollutants. In Mishra, V. K., Kumar, K. (Ed.), *Sustainable Environmental Clean-up* (295-314). USA: Elsevier



- [3] Pornchai et al. (2021). Carboxymethyl cellulose film from durian rind. *Food Science and Technology*, 48 (1), 52-58.
- [4] Sajad, P., & Sona, C. (2017). Design of an optical sensor for ethylene based on nanofiber bacterial cellulose film and its application for determination of banana storage time. *Polymers for Advanced Technologies*, 29 (5), 1385-1393.
- [5] Xin et al. (2020). Development of antioxidant and antimicrobial packaging films based on chitosan and mangosteen (*Garcinia mangostana L.*) rind powder. *International Journal of Biological Macromolecules*, 145, 1129-1139.
- [6] Tharanan, C., Atiwat, T., & Parintip, R. (2020). Synthesis and Characterization of Carboxymethyl Cellulose from Coconut Peel for Preparation of Bioplastics Packaging. *Journal of physics and general science*, 4 (1), 21-27.
- [7] Antony et al. (2020). Energy efficient process for valorization of corn cob as a source for nanocrystalline cellulose and hemicellulose production. *International Journal of Biological Macromolecules*, 163, 260-269.
- [8] Arzu, Y. M., Seda, E. B., & Serap, C. (2019). Optimum alkaline treatment parameters for the extraction of cellulose and production of cellulose nanocrystals from apple pomace. *Carbohydrate Polymers*, 215, 330-337.
- [9] N. sai, P., & Jayeeta, M. (2020). Isolation and characterization of cellulose nanocrystals from *Cucumis sativus* peels. *Carbohydrate Polymers*, 247, 116706.
- [10] Nan et al. (2017). Novel Synthesis of Plasmonic Ag/AgCl@TiO₂ Continues Fibers with Enhanced Broadband Photocatalytic Performance. *Catalysts*, 7 (4), 117.
- [11] Mario, P. A., Djagal, W. M., & Haryadi. (2005). Synthesis and characterization of sodium carboxymethylcellulose from cavendish banana pseudo stem (*Musa cavendishii* LAMBERT). *Carbohydrate Polymers*, 62 (2), 164-169.
- [12] Pornchai, R. (2009). Blended Films of Carboxymethyl Cellulose from Papaya Peel (CMCP) and Corn Starch. *Kasetsart Journal - Natural Science*, 43 (5), 259-266.
- [13] Suria et al. (2015). Formulation and physical characterization of microemulsions based carboxymethyl cellulose as vitamin c carrier. *Malaysian Journal of Analytical Sciences*, 19 (1), 275-283.